

پیوند ساختاری ناویدیس حاتم آباد با گسل فعال دشت بیاض، شمال قاین - شرق ایران

مرتضی گلچین^۱، اسماعیل الله پور^{۲*}، محمود رضا هیهات^۳ و محمدمهری خطیب^۴

۱. کارشناس ارشد تکنونیک، مهندسین مشاور پارسی کان کاو
۲. استادیار گروه زمین‌شناسی، دانشگاه پیام نور بیرجند
۳. استادیار گروه زمین‌شناسی، دانشگاه بیرجند
۴. استاد گروه زمین‌شناسی، دانشگاه بیرجند

تاریخ دریافت: ۹۵/۰۲/۳۰

تاریخ پذیرش: ۹۵/۰۵/۰۵

چکیده

ناویدیس حاتم آباد در ۴۰ کیلومتری شمال قاین واقع شده است و گستردگی آن ۱۹۰ کیلومتر مربع است. تحلیل هندسی و جنبشی این ناویدیس برای بررسی پیوند ساختاری آن با گسل فعال دشت بیاض موضوع این نوشتار است. قرار گرفتن ناویدیس حاتم آباد در محل گسست قطعات گسلی دشت بیاض و شکل S مانند این ناویدیس، که حاکی از تاثیرپذیری از یک حرکت راستالغاز چپگرد است، سوالات زیادی را در مورد احتمال تاثیر گسل چپگرد دشت بیاض بر آن مطرح کرده است. تحلیل هندسی مقاطع ساختاری، راستای کرنش بیشینه ۲۲۱ یا ۴۱ درجه را برای ناویدیس حاتم آباد ارائه می‌کند که با راستای تنفس مربوط به گسل دشت بیاض تطابق خوبی نشان می‌دهد. سازوکار گسل محمدآباد علم به همراه راستای تنفس ۳۷ یا ۲۱۷ درجه که به روش دووجهی عمود برهم، بدست آمده است، نیز شکل S مانند ناویدیس حاتم آباد را توجیه می‌کند. بنا به آنچه ذکر شد ناویدیس حاتم آباد در اثر قرار گرفتن در یک زون ترافشارشی چپگرد، بین گسل چپگرد با مولفه معکوس دشت بیاض و گسل محمدآباد علم با سازوکار معکوس و مولفه امتدادلغز چپگرد دچار تغییر شکل شده است.

واژه‌های کلیدی: ناویدیس، حاتم آباد، گسل، دشت بیاض، تحلیل هندسی.

مقدمه

ناویدیس حاتم آباد براساس تقسیم‌بندی پهنه‌های رسوی ساختاری عمدۀ ایران (آقانباتی، ۱۳۸۳)، در حاشیه شمال شرق پهنه لوت و در مجاورت پهنه زمیندرز سیستان واقع شده است. روند غالب ساختارها در حواشی بلوك لوت، شمالی-جنوبي است ولی در داخل بلوك لوت، روند مذکور شمال غرب-جنوب شرق می‌باشد. با توجه به پهنه برشی شمالی-جنوبي راستگرد احاطه کننده بلوك لوت، انتظار ساختاری مناطق فشاری در پهنه‌های گسلی در شمال

* نویسنده مرتبط: Elahpour_es2002@yahoo.com

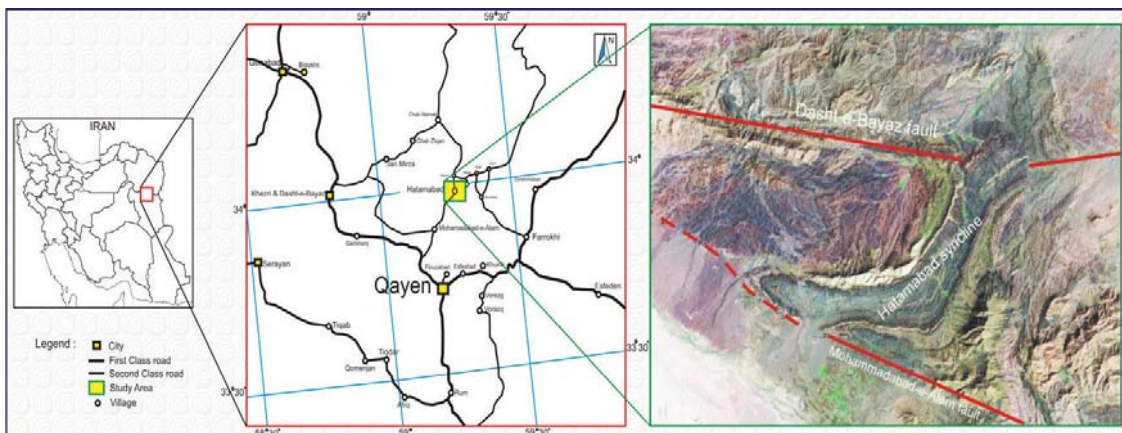
خاور دشت لوت (بخش شمالی پهنه ساختاری سیستان) فراهم آورده است. فعالیت گسل‌هایی با روندهای مختلف در منطقه خاور ایران سبب ایجاد دگرشكالی‌های محلی متفاوت با مناطق ساختاری مجاور آنها شده است (غلامی، ۱۳۸۸).

ناویدیس حاتم آباد، در استان خراسان جنوبی و در ۴۰ کیلومتری شمال قاین، در موقعیت جغرافیایی

فاصله آن تا منطقه مورد مطالعه ۱۵ کیلومتر است (شکل ۱).

خاور دشت لوت (بخش شمالی پهنه ساختاری سیستان) فراهم آورده است. فعالیت گسل‌هایی با روندهای مختلف در منطقه خاور ایران سبب ایجاد دگرشكالی‌های محلی متفاوت با مناطق ساختاری مجاور آنها شده است (غلامی، ۱۳۸۸).

ناویدیس حاتم آباد، در استان خراسان جنوبی و در ۴۰ کیلومتری شمال قاین، در موقعیت جغرافیایی



شکل ۱. تصویر ماهواره‌ای و موقعیت جغرافیایی ناویدیس حاتم آباد

که بین گسل فعال دشت بیاض در شمال و گسلی که در اینجا "گسل محمد آباد علم" نامیده می‌شود، در جنوب قرار گرفته است. رخنمون سنگی آن به طور عمده، واحدهای کرتاسه و ترشیری و شامل لایه‌های آهکی و کنگلومراپی در هسته ناویدیس و واحدهای سنگی آذراواری، آهکی، ماسه سنگی و کنگلومراپی در یال‌های راست و چپ است (شکل ۱۲).

اندازه‌گیری‌های صحرایی نشان می‌دهند که شیب یال راست ناویدیس بین ۲۴ تا ۸۷ درجه متغیر است و یال چپ تغییرات شیب کمتری بین ۲۵ تا ۶۶ درجه دارد.

در جنوب ناویدیس حاتم آباد، گسل محمد آبادعلم با موقعیت هندسی میانگین ۱۲۰/۶۴S و سازوکار معکوس با مولفه امتدادلغز چپگرد و طول تقریبی ۹ کیلومتر قرار دارد. در ناویدیس حاتم آباد دایک‌های قائم متعدد میکرودیوریتی دیده می‌شود که در بخش شمالی ناویدیس، جایی که اثر محوری دارای روندهای NNE-SSW و NE-SW است، محور اولیه یا A عمودند و در بخش جنوبی ناویدیس بر روند E-W از حالت عمود بر محور، منحرف شده و روند NNW-SSE نشان می‌دهند. در پیمایش صحرایی

قرار گرفتن ناویدیس حاتم آباد در محل گستاخ قطعات گسلی دشت بیاض و شکل S مانند این ناویدیس، که حاکی از تاثیریدیری از یک حرکت راستالغاز چپگرد است، سوالات زیادی را در مورد احتمال تاثیر گسل چپگرد دشت بیاض بر آن مطرح کرده است. روند اثر محوری ناویدیس حاتم آباد چندین بار تغییر کرده و انتهای غربی ناویدیس، جدایش و بالآمدگی زیادی دارد. دایک‌ها جهت‌گیری‌های متفاوتی دارند و گسل‌های قطع کننده لایه‌بندی دارای روندها و سازوکار متفاوت هستند. ضمن این‌که یال‌ها در دو طرف محور، تقارن ندارند. آنچه گذشت سبب طرح سؤالاتی در زمینه جهت محورهای کرنش، دلیل تغییر چند باره روند اثر محوری ناویدیس و دلیل پهن‌شدگی^۱ و فشردگی^۲ واحدهای سنگی در بخش جنوبی آن شده است.

هندسه ساختاری ناویدیس حاتم آباد

ناویدیس حاتم آباد یک چین باریک و کشیده با روندهای اثر محوری NW-SE، E-W، NE-SW و NW-SE است، به شکل S

1. Flattening
2. Compaction

رخمنون واحدهای سنگی و بیشترین ابهام را دربرمی‌گیرند. برای ترسیم مقاطع از روش قوس^۲ که برای چین‌های موازی دارای انحنای ملایم بکار می‌رود، همراه با بعضی تغییرات استفاده شده است. لازم به ذکر است جابجایی و ضخامت لایه‌ها بر روی مقاطع عرضی دارای پلازن، محاسبه نشده است. پارامترهای هندسی و همچنین موقعیت قطب لایه‌بندی‌های اندازه‌گیری شده در این مقاطع، براساس برداشت‌های صحرایی در جدول ۱ و استریو گرامها نشان داده شده است.

مشاهده می‌شود که تنها واحد PE^s دچار چین‌خوردگی با مشخصه سوپریوز شده و در سایر واحدهای سنگی، بجای چین‌خوردگی، درزه و شکستگی عارضه اصلی است. یک نمونه از این چین‌خوردگی به صورت پارازیتی S شکل (معرف یال چپ ناویدیس) در بخش جنوبی ناویدیس حاتم آباد دیده می‌شود (شکل ۲).

جهت بررسی بیشتر چگونگی چین‌خوردگی ناویدیس حاتم آباد و تعیین راستای کرنش تعداد ۹ مقطع عرضی (شکل‌های ۳ و ۱۲)، به روش پیمایش تهیه شده است. این مقاطع عمود بر محور ناویدیس است و نقاط واجد بیشترین



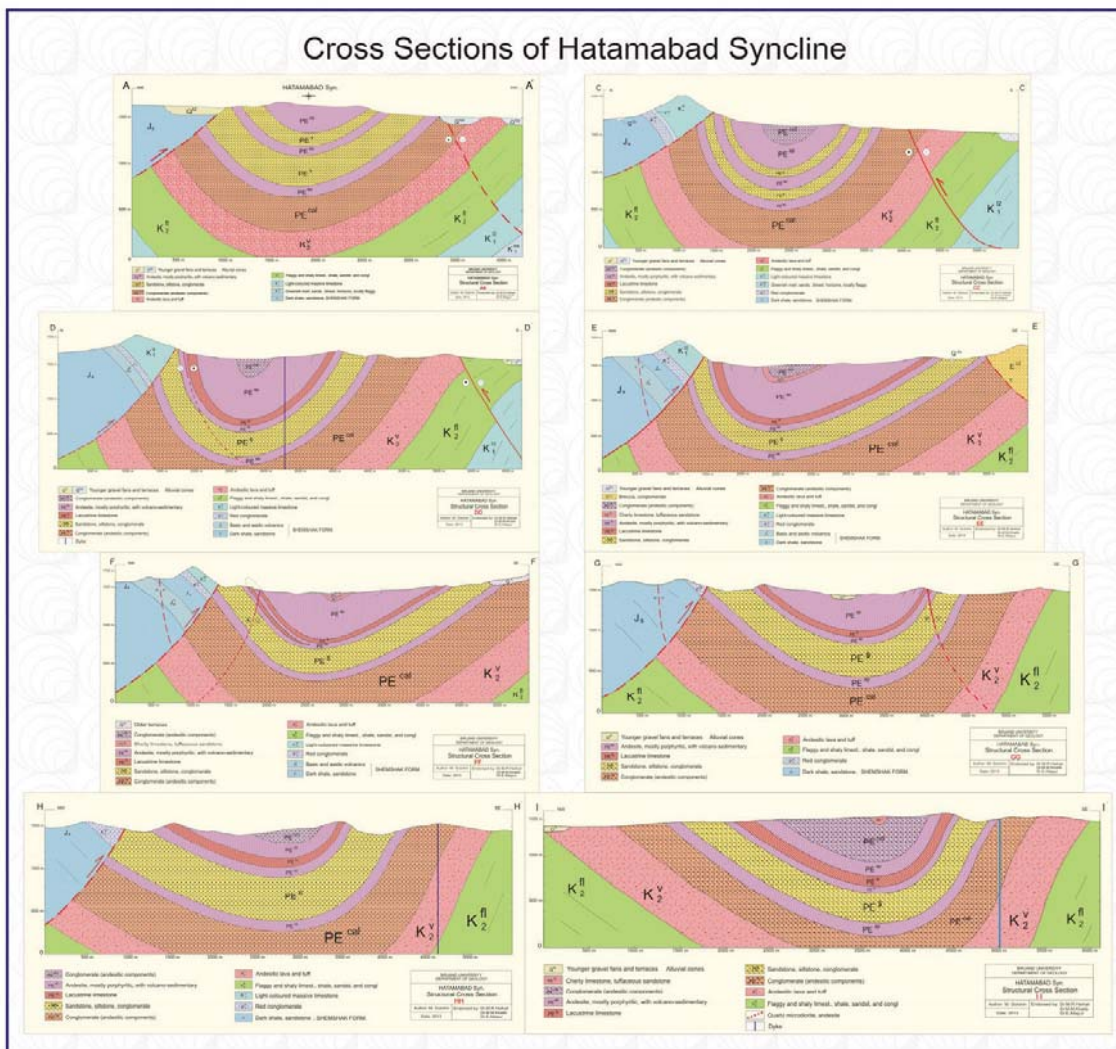
شکل ۲. موقعیت هندسی لایه ماسه سنگ در امتداد مقطع (a) CC و چین S شکل معرف یال چپ ناویدیس در امتداد همان لایه (b) (بازوی نشانه روی کمپاس، رو به سوی شمال است)

جدول ۱. موقعیت هندسی ناویدیس در امتداد مقاطع (نوع چین‌ها براساس تقسیم‌بندی Fleuty (۱۹۶۴) آمده است)

نوع چین	طول موج	زاویه بین بالی	محور	سطح محوری	برش ساختاری
(Open) باز	۲/۷	۸۴	۲۲/۱۰۵	۸۲NE/۲۸۸	AA'
قطع عرضی در امتداد این مقطع، به دلیل کمبود اطلاعات لایه‌بندی ترسیم نشده است.					
(Close) بسته	۶	۶۲	۴۹/۲۹۶	۷۵N/۲۸۲	CC'
بسته	۷	۶۵	۱۷/۰۶۳	۶۹N/۲۵۰	DD'
باز	۱/۷	۷۴	۳/۲۴۲	۸۹N/۲۴۲	EE'
باز	۹	۹۴	۱۰/۲۲۵	۸۴W/۲۲۴	FF'
باز	۸	۷۶	۱۰/۲۳۱	۸۱SE/۰۵۳	GG'
باز	۷/۸	۷۸	۱۲/۰۲۰	۷۳E/۰۱۷	HH'
باز	۲/۹	۷۸	۳/۲۳۲	۷۹SE/۰۵۳	II'

1. Cross Section

2. Bush



شکل ۳. نمایی از مقاطع ساختاری عرضی رسم شده برای ناویدیس حاتم آباد (موقعیت برش‌ها در شکل ۱۲ آمده است)

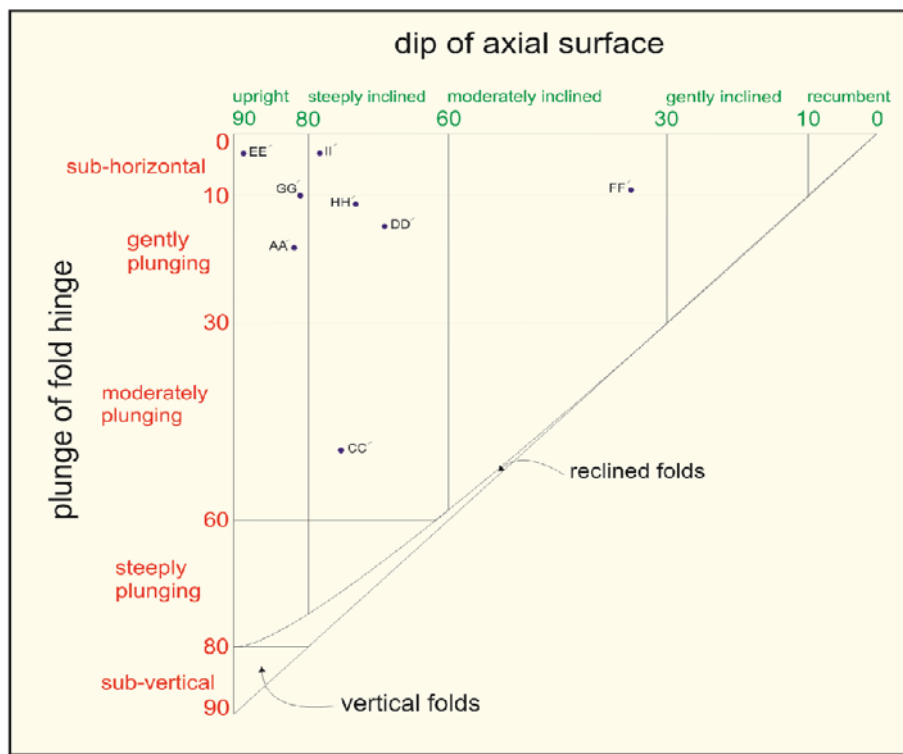
بیاض و تحلیل جنبشی گسل محمدآباد عمل بررسی شده است. بنابراین تعاریف اگر جابجایی ناشی از برش ساده به طور پیوسته در تمام ساختار پخش شده باشد، چین را خمشی- جریانی^۱ می‌نامند و اگر برش به صورت ناپیوسته در ساختار توزیع شده باشد چین را خمشی - لغزشی^۲ می‌گویند (Ramsay and Huber, 1987). بر این اساس به دلیل وجود لغزش بین لایه‌ای در امتداد برخی مقاطع مانند مقطع GG (شکل ۵)، و مقطع II و همچنین حضور لایه‌های S شکل در امتداد مقطع CC (شکل ۲)، می‌توان فرایند تشکیل محور A ناویدیس حاتم آباد را مرتبط با چین خوردگی از نوع خمشی لغزشی دانست.

1. Flexural-flow
2. Flexural-slip

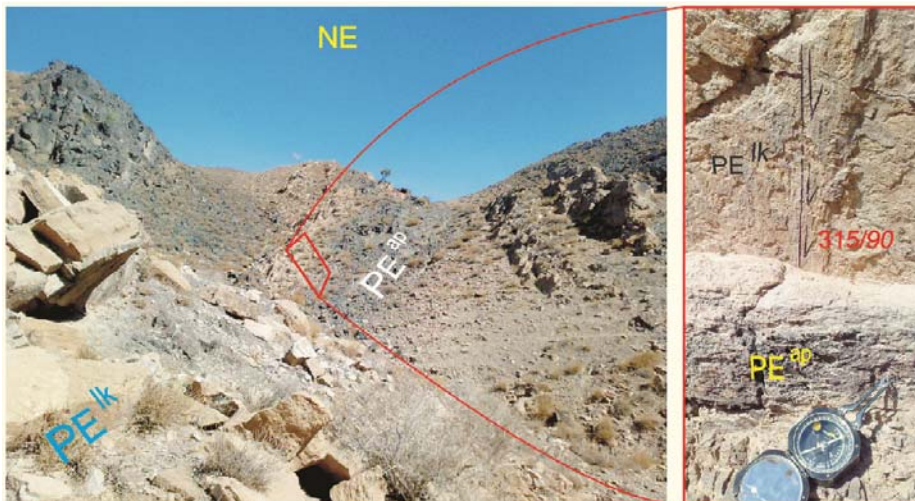
به منظور توصیف کمی جهت‌گیری یک چین، باید آن را به بخش‌هایی با خطوط لوای مستقیم و سطوح محوری مساوی تقسیم کرد. جهت‌گیری چینی با خط لوای مستقیم و سطح محوری مساوی، می‌تواند بر حسب موقعیت خط لو لا و صفحه محوری بیان شود (مارشاك و میترا، ۱۹۸۸). براساس جهت‌گیری این سیماها، هر یک از مقاطع عرضی می‌تواند در یکی از گروه‌های شکل ۴ قرار گیرد.

تحلیل جنبشی ناویدیس حاتم آباد

در این بخش با استفاده از نتایج تحلیل هندسی مقاطع ساختاری عرضی، به بررسی پیوند ساختاری ناویدیس حاتم آباد با گسل فعال داشت بیاض پرداخته و در ادامه علت تغییرات محور ناویدیس حاتم آباد با استفاده از سازوکار گسل داشت



شکل ۴. ردهبندی مقاطع عرضی براساس جهتگیری چین‌ها (اقتباس از Ramsay 1967)

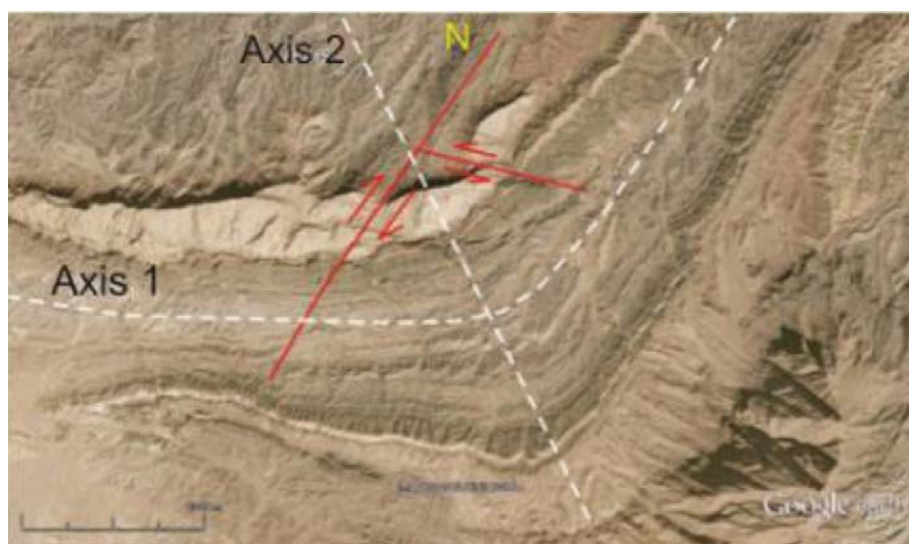


شکل ۵. آثار لغزش بین لایه‌ای در یال چپ ناو迪س حاتم آباد در امتداد مقطع 'GG'

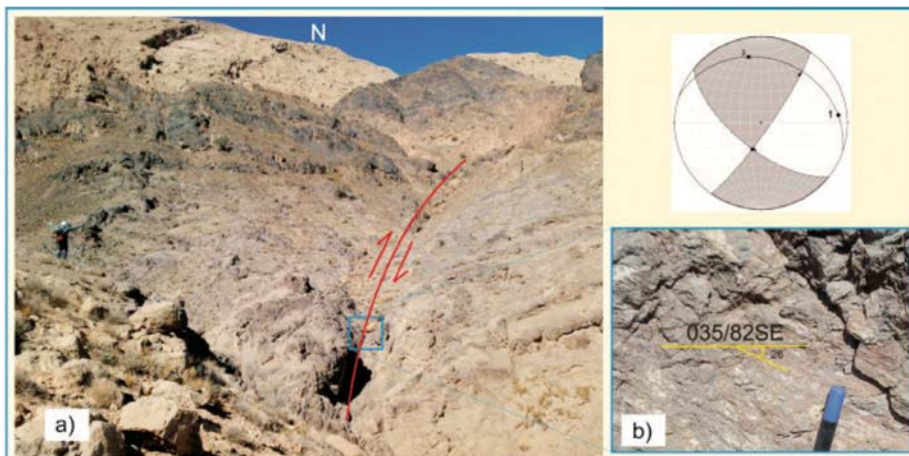
ماماسی نیز موثر بوده است. در این رابطه به عنوان مصدق اما محور₂ ناو迪س حاتم آباد علاوه بر تغییر شکل خمی لغزشی دچار چین خوردگی طولی ماماسی نیز شده بخش لوایی ناو迪س حاتم آباد در امتداد محور₂ ذکر است. فشردگی واحدهای سنگی در یال چپ ناو迪س حاتم می‌گردد که در این بخش، گسل‌های مزدوج در قوس آباد (در امتداد مقاطع 'BB' و 'CC') و بازشدگی همین داخلي² به دليل فشردگی واحدهای سنگی ایجاد شده‌اند (شکل‌های ۶ تا ۸).

اما محور₂ ناو迪س حاتم آباد علاوه بر تغییر شکل خمی لغزشی دچار چین خوردگی طولی ماماسی نیز شده است. فشردگی واحدهای سنگی در یال چپ ناو迪س حاتم آباد (در امتداد مقاطع 'BB' و 'CC') و بازشدگی همین واحدهای (در امتداد مقطع 'DD')، نشان از لغزش بین لایه‌ای در امتداد شرقی غربی دارد. ضمن این‌که تغییر شکل طولی

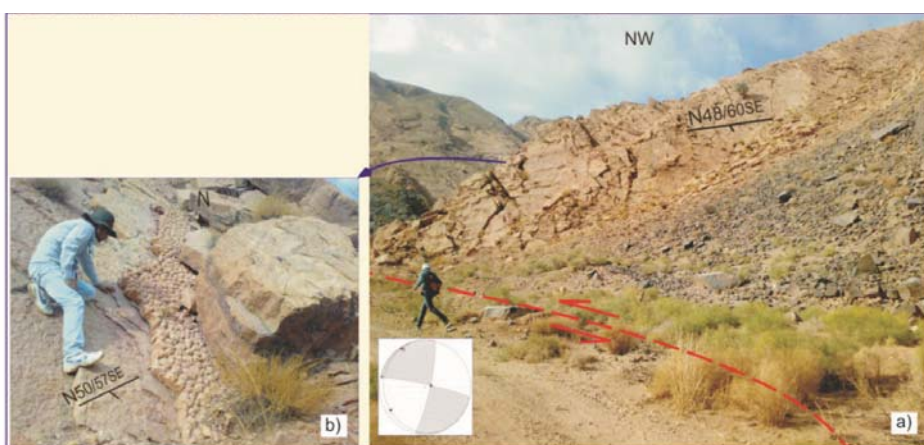
1. Conjugate Faults
2. Intrados



شکل ۶. وجود گسل‌های مزدوج در قوس داخلی



شکل ۷. گسل F_1 (در امتداد مقطع 'DD') که باعث جابجایی ۱۶۰ متری در یال راست ناویدیس حاتم آباد شده است (a) سطح گسل (b) و تصویر استریوگرافی آن



شکل ۸. نمایی از واحد PE^{lk} گسل F_2 (در امتداد مقطع 'FF')، ۱۹۰ متر جابجا شده است و تصویر استریوگرافی آن (a)، قالب‌های وزنی که نشان از برگشتگی لایه دارند و برداشت درزه در واحد سنگ آهک دریاچه‌ای (b)

تعیین راستای کرنش با استفاده از مقاطع ساختاری عرضی

مرحله اول موقعیت محورهای کرنش برای هر مقطع توسط استریوونت محاسبه شده (جدول ۲) و در مرحله دوم، با استفاده از جهات کرنش بیشینه در امتداد کلیه مقاطع، راستای کرنش بیشینه میانگین، برای ناویدیس حاتم آباد ۲۲۱ درجه به دست آمده است.

نظر به این که محور چین‌ها منطبق بر راستای کرنش متوسط (λ_2)، قطب سطح محوری منطبق بر محور کرنش بیشینه (λ_1) و محور تنش کمینه (λ_3) عمود بر صفحه‌ای قرار می‌گیرد که از λ_1 و λ_2 می‌گذرد (جلیلیان، ۱۳۹۱)، در

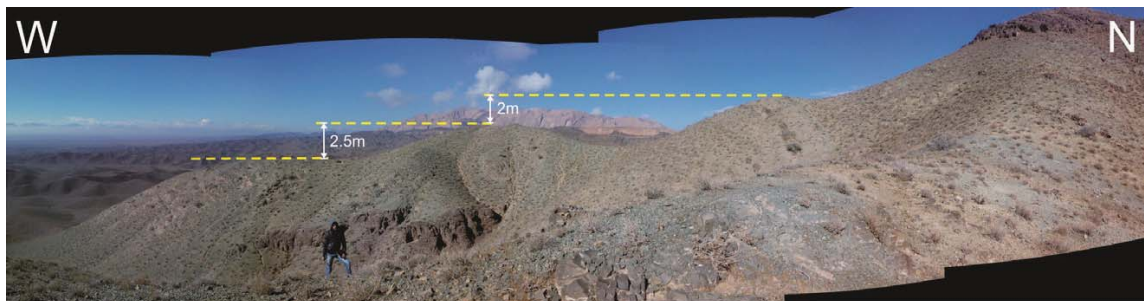
جدول ۲. موقعیت کرنش‌های اصلی با استفاده از سطوح محوری

II'	HH'	GG'	FF'	EE'	DD'	CC'	AA'	
۱۱/۳۲۳	۱۷/۲۸۶	۹/۳۲۳	۸/۱۳۴	۱/۱۵۱	۲۱/۱۶۱	۱۶/۱۹۲	۸/۱۹۹	کرنش بیشینه
۳/۲۲۲	۱۲/۰۲۰	۱۰/۲۳۱	۱۰/۲۲۵	۳/۲۴۲	۱۷/۰۶۳	۴۹/۲۹۶	۲۲/۱۰۵	کرنش متوسط
۷۹/۱۲۵	۶۹/۱۴۵	۷۷/۰۹۴	۷۷/۰۱۱	۸۷/۰۵۳	۶۳/۲۹۷	۴۳/۰۸۷	۶۷/۳۰۶	کرنش کمینه

(پلیوسن زیرین) همگی نشانگر فشارهای تکتونیکی با راستای اعمال ۴۵ تا ۵۵ درجه هستند (Berberian, 1975, Tchalenko and

. سازوکار گسل محمدآباد علم با طول تقریبی ۹ کیلومتر که در جنوب ناویدیس حاتم آباد شناسایی شده، معکوس با مولفه امتدادلغز چیگرد است. در مختصات ناویدیس، این گسل باعث تشکیل سطوح ژئومورفیک شده و در هر مرحله از فعالیت، باعث بالآمدگی ۲ تا ۲/۵ متری در واحدهای سنگی شده است (شکل ۹).

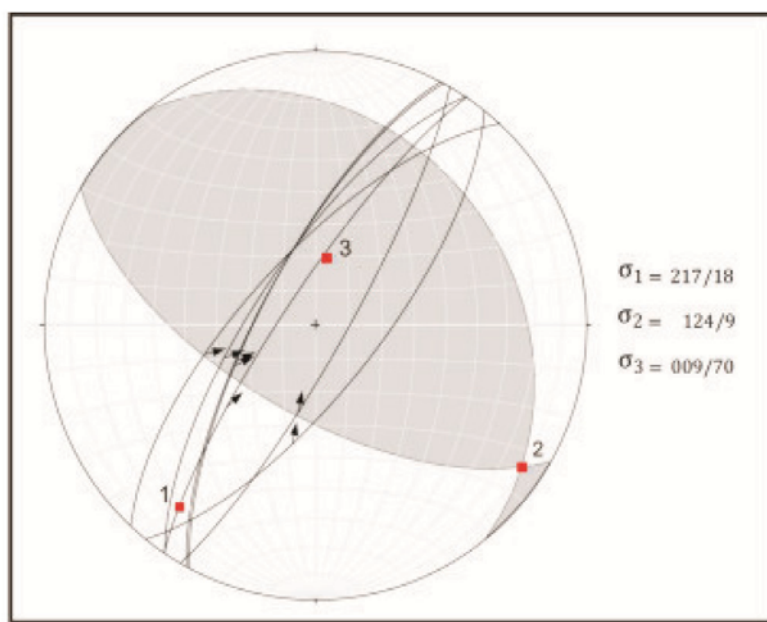
تحلیل جنبشی گسل دشت بیاض و گسل محمدآباد علم چپ پله بودن و ماهیت قطعه‌ای گسل دشت بیاض گویای این واقعیت است که این گسل در مرحله آغازین تکامل است (Walker et al., 2004). سازوکار گسل دشت بیاض، با توجه به برداشت‌های انجام شده به صورت چیگرد همراه با مؤلفه معکوس برآورد شده که طی این فرایند دیواره شمالی گسل نسبت به دیواره جنوبی خود به طرف بالا حرکت کرده است (اسکندری شورابی، ۱۳۸۷). تغییر شکل‌های تکتونیکی در گسل دشت بیاض، مانند شکستگی‌های کششی (پلیوسن بالابی)، برش‌های متقطع (پلیوسن) و درزهای کششی



شکل ۹. سطوح ژئومورفیک شکل گرفته در امتداد مقطع DD' در اثر فعالیت گسل محمدآباد علم

به نرمافزار، استفاده شد. در نتیجه جهت بیشینه تنش میانگین برای گسل محمدآباد علم، ۲۱۷ یا ۳۷ درجه به دست آمد (شکل ۱۰).

برای تکمیل بررسی جهت‌های تنش اصلی برای گسل محمدآباد علم به روش دووجهی عمود برهم محاسبه شده و از موقعیت هندسی هفت لغز، به عنوان داده ورودی



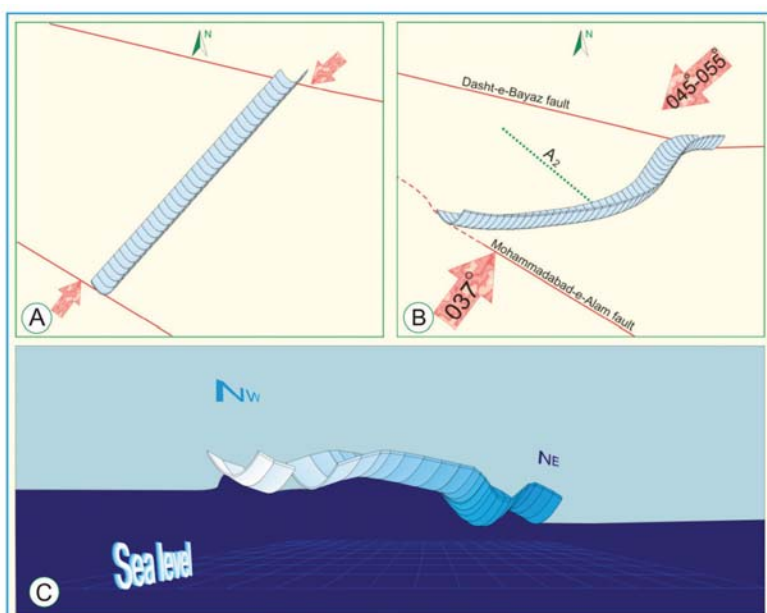
شکل ۱۰. تعیین جهات تنش اصلی برای گسل محمدآباد علم توسط نرم افزار FaultKin

خاوری را برای آن پیشنهاد می کند (شکل ۱۱A). متعاقبا

واحدهای سنگی در اثر قرارگیری در یک پهنه ترافشارشی بین گسل امتدادلغز چپگرد با مولفه معکوس دشت بیاض و گسل معکوس با مولفه امتدادلغز چپگرد محمدآباد علم دچار تغییر شکل شده اند (شکل ۱۱B). همین طور تحلیل مقاطع ساختاری عرضی نشان داد که ناویدیس حاتم آباد دارای ۶ پلانز در امتداد محور اولیه (A_1) می باشد (شکل ۱۱C).

مدل تکامل تکتونیکی منطقه

برای مدل سازی نحوه شکل گیری توالی کرنشها و مراحل دگرگیختی واحدهای سنگی ناویدیس حاتم آباد، مراحل دگرگشکلی به صورت شماتیک برای بازسازی محورهای اولیه (A_1) و ثانویه (A_2) طراحی شد. بازسازی مراحل کرنش راستای تقریبی شمال خاوری - جنوب باختری را برای محور A_1 ناویدیس و جهت کرنش بیشینه شمال باختری - جنوب



شکل ۱۱. مدل تکامل تکتونیکی منطقه (مقیاس رعایت نشده است)

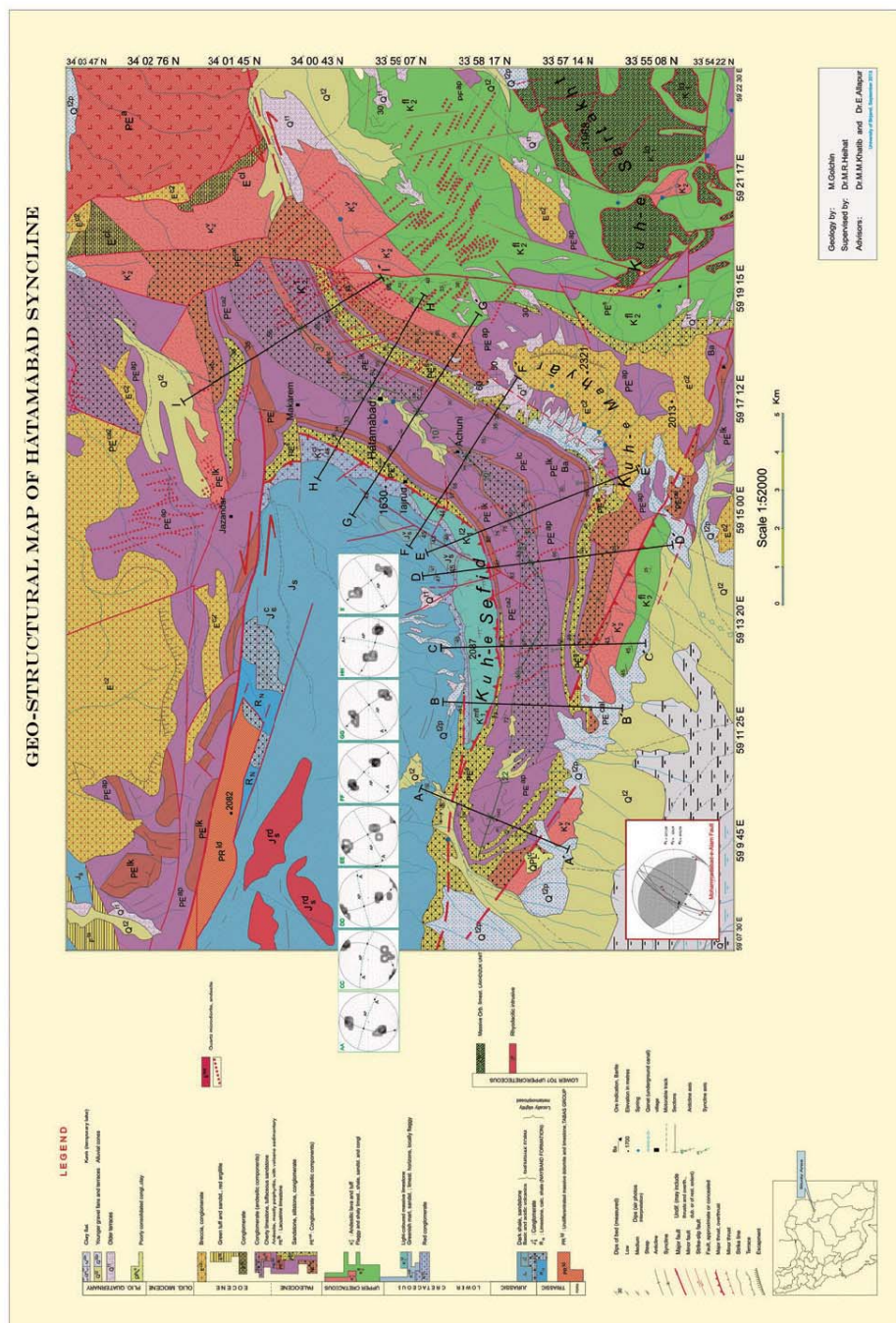
نتیجه‌گیری

سازوکار معکوس با مولفه امتدادلغز چپگرد، تشکیل یک زون ترا فشارشی داده و باعث چرخش پاد ساعتگرد محور S شکل شدن آن شده‌اند.

ج- تغییر شکل خمی لغزشی به همراه تغییر شکل طولی مماسی در فشردگی و بازشدگی بخش جنوبی ناویدیس حاتم آباد موثر بوده است.

الف- با انطباق تقریبی راستای کرنش بدست آمده از مقاطع عرضی ناویدیس حاتم آباد و راستای تنش گسل فعال دشت بیاض، فرضیه پیوند ساختاری آنها تقویت می‌شود.

ب- گسل فعال دشت بیاض با سازوکار امتدادلغز چپگرد با مولفه فشاری به همراه گسل فعال محمدآباد علم با



شکل ۱۲. نقشه زمین ساختاری ناویدیس حاتم آباد (گلچین، ۱۳۹۲)

منابع

- Fluety, M. J., 1964. The description of folds. Proceedings of the Geologist Association, 75, 461 – 492.
- Ramsay, J.G. and Huber, M. I., 1987. The Techniques of modern structural geology, V. 2, Folds and Fractures, Academic Press, London, 309-700.
- Ramsay, J.G., 1967. Folding and Fracturing of Rocks, McGraw – Hill, New York, 568.
- Tchalenko, J. S. and Berberian, M., 1975, Dasht -e- Bayaz fault, Iran, Earthquake and Earlier Related Structures in Bed Rock, Geological Society of America Bulletin, 86, 703-709.
- Walker, R., Jackson, J. and Baker, C., 2004, Active faulting and seismicity of the Dasht-e-Bayaz region, eastern Iran, Geophysical Journal International, 157, 265-282.
- آفانباتی، ع.، ۱۳۸۳، زمین‌شناسی ایران، سازمان زمین‌شناسی و اکتشافات معدنی کشور.
- اسکندری شورابی، ز.، ۱۳۸۷، تحلیل مهاجرت گسلی و ارتباط گسل دشت بیاض با گسل‌های سمت‌پاییک با استفاده از GIS، پایان‌نامه کارشناسی ارشد، دانشگاه بیرجند.
- جلیلیان، ح.، ۱۳۹۱، تحلیل ساختاری چین‌خوردگی‌های شمال آرین شهر(خراسان جنوبی)، پایان‌نامه کارشناسی ارشد، دانشگاه بیرجند.
- غلامی، ا.، نوگل سادات، م، ع.، ا.، خطیب، م، م.، یساقی، ع.، ۱۳۸۸، شواهد ساختاری از تاثیر گسل‌های شمالی جنوبی در توسعه دگریختی‌های جنوب خاوری بیرجند، پهنه سیستان. مجله علوم زمین، سازمان زمین‌شناسی و اکتشافات معدنی کشور، سال ۱۸، شماره ۷۱.
- گلچین، م.، ۱۳۹۲، بررسی پیوند ساختاری ناویدیس حاتم آباد با گسل فعال دشت بیاض (شمال قاین - شرق ایران)، پایان‌نامه کارشناسی ارشد تکتونیک، دانشگاه بیرجند.
- مارشاک، ا. و میترا، گ.، ۱۹۸۸، ترجمه: پورکرمانی، م. و معتمدی، ح.، ۱۳۹۰، روش‌های اساسی زمین‌شناسی ساختمانی، انتشارات دانشگاه شهید بهشتی.